

(n=1-10) Cd_nTe_n مطالعه پایداری خوشه‌های کوچک

حیدرعلی شفیعی گل^{*}، حسینعلی نجاري

گروه فیزیک، دانشکده علوم، دانشگاه سیستان و بلوچستان، زاهدان، ایران

تاریخ پذیرش: ۹۴/۰۶/۰۵

تاریخ تصحیح: ۹۴/۰۳/۲۵

تاریخ دریافت: ۹۴/۰۱/۲۲

چکیده

در این مقاله، نتایج حاصل از محاسبات تابعی چگالی را در بسته نرمافزاری VASP برای خوشه‌های Cd_nTe_n (n=1-10) و با استفاده از تقریب چگالی موضعی به روش امواج تصویری تقویت شده ارائه شده است. خواص ساختاری (طول و زاویه پیوند، عدد هم‌آرایی و پایداری)، الکترونی و اپتیکی (انرژی بستگی بر اتم، اختلاف مرتبه دوم در انرژی کل، گاف انرژی و چگالی بار جزئی) حالت‌های پایه خوشه‌ها مورد تجزیه تحلیل قرار گرفته اند. با افزایش اندازه خوشه، گذار از حالت دو بعدی به سه بعدی برای $n=5 \rightarrow n=6$ رخ می‌دهد و عدد هم‌آرایی کاتیون‌ها و آنیون‌ها افزایش می‌یابد. ماکریزم این عدد برای اتم‌های Cd و Te برابر عدد هم‌آرایی شان در حالت حجمی، ϵ ، است، با این وجود خصلت ساختاری بلور CdTe (تریاگونال) در آنها مشاهده نمی‌گردد. نتایج بدست آمده برای انرژی بستگی بر اتم و اختلاف مرتبه دوم خوشه‌ها نشان می‌دهد که خوشه‌های ۹ و ۳ از پایداری بیشتری نسبت به همسایگان خود برخوردارند. همچنین از محاسبات گاف انرژی خوشه‌ها چنین استنباط می‌گردد که خوشه‌های $n=5$ از Cd_5Te_5 و Cd_5Te_6 دارای گاف بزرگتری نسبت به همسایگانشان می‌باشند که بیانگر واکنش پذیری کمتر آنها نسبت به همسایگان است. ترازهای HOMO ناشی از اوریتال‌های Te-p و ترازهای LUMO یک حالت هیبریدی از اوریتال‌های Cd-s و Te-p بوده که پریندهای چگالی بارهای جزئی نیز آن را نشان می‌دهند.

وازگان کلیدی: خوشه، نظریه تابعی چگالی، حالت پایه، گاف انرژی، چگالی بار

۱- مقدمه:

نانوذرات و نانوخوشه‌های اتمی، فاز جدیدی از ماده بین مولکول‌ها و جامدات را ارائه می‌دهند که می‌توانند پتانسیل بالایی برای کاربردهای نانوتکنولوژی داشته باشند. به همین دلیل مطالعات تجربی و نظری بر روی خواص ساختاری و الکترونی شان در دهه‌های اخیر متوجه شده است [۱]. این خواص بدليل نسبت بالای سطح به حجم خوشه‌ها می‌تواند بطور شگفت‌انگیزی با نتایج حاصل از حالت‌های حجمی متفاوت باشد [۷-۲]. با پیشرفت علم و تکنولوژی، اندازه‌ی قطعات الکترونی کاهش یافته و

رفتار و خواص سطوح نیمرسانا بیشتر مورد توجه قرار می‌گیرند. رابطه‌ی بین هندسه و ساختار الکترونی، نقش اساسی در بروز خواص یک نانوساختار بازی می‌کند.

در میان نیمرساناهای، نیمرساناهای گروه II-VI بویژه نانوذرات و نقاط کوانتموی شان از قبیل (Zn, Cd, S, Se, Te) پتانسیل بالایی را برای کاربرد در قطعات اپتیکی و الکترونیکی دارند. بطور مثال نقاط کوانتموی $CdSe$ (با پوشش ZnS) می‌تواند به عنوان نشانگر سلولی در حسگرهای گلوکز فلورسنتی بکار برد شوند. تغییر عوامل پوششی زیرلایه $CdSe$ از ZnS به بهدلیل برتری خواص نوری نسبت به رنگ‌های آلی شیمیایی (براساس گروه فلورسنت) می‌توانند در انتقال دارو در بدن و بیوحسگرها نقش موثری را ایفا کنند [۱۳-۱۴]. طیف جذب گستردۀ، طیف گسیل قابل تنظیم (به علت گاف نواری قابل تنظیم) و مقاومت بالای نقاط کوانتموی در مقابل تخریب‌های شیمیایی و فتوشیمیایی سبب شده است که نقاط کوانتموی $CdTe$ به عنوان یک ماده‌ی فتوولتائیک جاذب در سلول خورشیدی نقطه‌ی کوانتموی و لایه‌های نازک مورد استفاده قرار گیرد. نقاط کوانتموی به دلیل ضریب خاموشی بالایشان در کاربردهای اپتیکی می‌توانند به عنوان یک ترانزیستور تک الکترون و یا یک کیوبیت جهت پردازش اطلاعات کوانتموی مورد استفاده قرار گیرند [۱۷-۱۸].

مطالعه نظری سومش و همکارش بر روی خوشه‌های کوچک Cd_nTe_n ($n \leq 6$) نشان می‌دهد که ساختارهای با پایین‌ترین انرژی برای خوشه‌های $n \leq 5$ بصورت دو بعدی ظاهر می‌شوند که با افزایش اندازه‌ی خوشه، عدد هم‌آرایی آنها افزایش و به صورت ساختارهای سه بعدی ظاهر می‌شوند [۱۸]. آنها نتیجه گرفته‌اند که اتم‌های Cd تشکیل یک گروه مغزی می‌دهند که توسط اتم‌های Te احاطه شده‌اند. همچنین در خوشه‌های با تعداد اتم غیریکسان، خوشه‌های با Te بیشتر دارای پایداری $CdTe$ بهتری نسبت به خوشه‌های با تعداد اتم Cd بیشتر می‌باشند. در تحقیق دیگر نامبردگان بر روی نقص خوشه‌های گزارش شده است که نقص در خوشه‌ها سبب بروز حالت‌های بین گافی در طیف انرژی می‌گردد، که با غیرفعالسازی پیوندهای آویزان ایجاد شده در اثر نقص، این حالت‌های بین گافی حذف می‌شوند. به دلیل موضعی بودن جاهای خالی، ساختارهای غیرفعال شده با اتم‌های هیدروژن گونه، همان ساختار اولیه خود را حفظ می‌کنند [۱۹].

در این مقاله، یک مطالعه نظری بر روی خواص ساختاری از قبیل نوع ساختار، طول پیوند و گروه‌های تقارنی و خواص الکترونی مثل انرژی بستگی، اختلاف مرتبه دوم در انرژی کل و گاف بین بالاترین اوربیتال مولکولی اشغال شده (HOMO) و پایین‌ترین اوربیتال اشغال نشده (LUMO) و چگالی بارهای جزئی برای خوشه‌های Cd_nTe_n ($n=10-1$) انجام شده است. جزئیات محاسبات بطور خلاصه در بخش بعدی و نتایج حاصل از آنها در بخش سوم ارائه می‌شوند و آخرین بخش نیز، کار انجام شده را نتیجه گیری می‌کند.

۲- روش محاسبات:

محاسبات بر پایه تقریب برون-اوپنهاایمر و تئوری تابعی چگالی هوهنبرگ-کوهن [۲۰] بوده و معادلات تکذره ای برای ساختار الکترونی خوشه‌ها در روش موج تصویری تقویت شده (PAW) [۲۱] با فرمول‌بندی کوهن-شم [۲۲] و به روش خودسازگار حل می‌شوند. تابعی چگالی با تقریب چگالی موضعی (LDA) در فرم انرژی تبادلی-همبستگی سپرلی-آلدر (CA) [۲۳] و بسته‌ی شبیه سازی ابتدا به ساکن وینا (VASP) [۲۴, ۲۵] با پایه‌های امواج تخت برای اجرای بهینه می‌گردد [۲۳] و بسته‌ی شبیه سازی ابتدا به ساکن وینا (VASP) [۲۴, ۲۵] با پایه‌های امواج تخت برای اجرای محاسبات مورد استفاده قرار می‌گیرد.

افزایش تعداد اتم‌ها در خوشه و آزادی عمل آنها برای برهمکنش بیشتر با یکدیگر، موجب می‌گردد که تعداد ساختارهای اولیه خوشه‌ها به طور چشم‌گیری افزایش یابد. از این رو، پیدا کردن حالت‌های پایه‌ی خوشه‌ها با افزایش اندازه خوشه با مشکلات جدی روبرو می‌شود. به منظور به دست آوردن کمینه‌های اصلی و پرهیز از کمینه‌های موضعی، از تعداد زیادی ساختار دو بعدی و سه بعدی (بسته به اندازه خوشه) برای هر خوشه در فرایند بهینه‌سازی استفاده می‌شود که این ساختارهای اولیه، با توجه به ملاحظات تقارنی، شیمیایی و نتایج تجربی حدس زده و با تکنیک (CG) [۲۶] بهینه‌سازی می‌گردد.

خوشه‌ها در مرکز ابرسلولی با حجم 8000 \AA^3 قرار داده می‌شوند تا توابع موج مربوط به خوشه‌ها در سلول محبوس، و هیچ‌گونه همپوشی بین توابع موج سلول‌های مجاور ایجاد نگردد. توابع ویژه الکترونی مربوط به معادلات کوهن-شم با انرژی جنبشی قطع $276/7\text{eV}$ بر حسب امواج تخت در نقطه Γ ($k=0$), بسط داده می‌شوند. دقت مطلوب برای انجام محاسبات انرژی الکترونی، eV^{-4} و برای هر مولفه‌ی نیروی وارد بر هر اتم در یک خوشه $\text{eV}/\text{\AA}^{-10}$ در نظر گرفته می‌شود. حضور الکترون-های d کاتیون‌های گروه IIB جدول مندلیف نقش مهمی در تعیین ساختار الکترونی نیمه‌رساناهای II-VI ایفا می‌کنند، به همین دلیل الکترون‌های فوق در محاسبات انجام شده برای خوشه‌های کادمیم تلواید به عنوان الکترون‌های ظرفیت بکار می‌روند. بدین ترتیب الکترون‌های ظرفیت با دوازده الکترون (s^{1-d}) برای اتم Cd و شش الکترون (p^5) برای اتم Te در خوشه-های CdTe شرکت داده می‌شوند. اگرچه توجه اصلی ما بر روی ساختارهای کمینه‌های هدف (اولین ایزومرها) است، ساختارها و خواص کمینه‌های موضعی دوم و سوم نیز معرفی می‌گردد.

۳- نتایج و بحث محاسبات:

۳-۱- خواص ساختاری خوشه‌های $(n=1-10) Cd_nTe_n$

خواص آلیاژ $CdTe$ را می‌توان بر اساس مشخصه یونی پیوند $Cd\text{-}Te$ توصیف کرد که در میان ترکیبات IIB-VIA، بیشترین مقدار را در مقیاس یونی شدگی فلیپس (0.717\AA) به خود اختصاص داده که پایین‌تر از آستانه‌ی فلیپس (0.785\AA) برای ساختار هشت وجهی است. همچنین ملاحظات ساختاری نشان می‌دهد که ساختارهای چهاروجهی برای ترکیبات دوتایی یونی مناسب‌اند که نسبت شعاع کاتیون به آنیون آنها بین 0.732 و 0.732 قرار دارد، در حالی که این نسبت برای ساختارهای هشت وجهی بزرگ‌تر از 0.732 است. این نسبت برای ترکیب $CdTe = r(Cd^{2+})/r(Te^{2-})$ بوده که با ساختار چهاروجهی سازگاری دارد. در حالی که ترکیباتی با مقدار یونی شدگی بالای آستانه دارای مختصات هشت وجهی هستند، مختصات اتمی چهاروجهی با نزدیک‌ترین چهار اتم همسایه و دوازده نزدیک‌ترین همسایگان بعدی موجب تشکیل ساختار الماسی در جامدات تک‌اتمی، و ساختارهای زینک‌بلند و ورتسایت در جامدات دوتایی می‌شود. ترکیب کادمیم تلواید در فشار یک اتمسفر دارای ساختار زینک‌بلند مرکز سطحی با ثابت شبکه 0.481\AA و طول پیوند $Cd\text{-}Te = 0.806\text{\AA}$ است [۲۷].

شکل‌های ۱ و ۲ اولین سه ساختار خوشه‌های Cd_nTe_n ($n=1-10$) با پایین‌ترین انرژی را نشان می‌دهند. در این شکل‌ها، رنگ‌های قرمز و طوسی به ترتیب نمایشگر اتم‌های Cd و Te می‌باشند. ساختارهایی با پایین‌ترین انرژی به عنوان ساختارهای حالت پایه (LES) یا ایزومرها اول (FI) خوشه‌ها در ستون سمت چپ و دو ساختار با انرژی‌های بالاتر از حالت پایه به عنوان کمینه‌های موضعی یا ایزومرها دوم (SI) و سوم (TI) در ستون‌های دوم و سوم نشان داده شده‌اند.

کوچک‌ترین خوشه‌ی این گروه، دوتایی $CdTe$ ، یک مولکول خطی با طول پیوند 0.56\AA و متعلق به گروه نقطه‌ای $C_{\infty v}$ است. مقایسه‌ی ساختاری دوتایی $CdTe$ با Cd_2 و Te_2 نشان می‌دهد که طول پیوند $Cd\text{-}Te$ در دوتایی $CdTe$ (0.56\AA) کوچک‌تر از $Cd\text{-}Cd$ (0.58\AA) و $Te\text{-}Te$ (0.58\AA) است، درحالی که از نقطه‌نظر انرژی بستگی برآمده، مقدار آن برای $CdTe$ دوتایی Cd_2 نسبت به $CdTe$ پایدارتر و نسبت به Te_2 از پایداری کمتری برخوردار است که می‌توان آن را به انتقال بار از کاتیون Cd به آنیون Te و تغییر مشخصه‌های پیوندی از واندروالس-کوالانس (در Cd_2) و کوالانس-کوالانس (در Te_2) به کوالانس-یونی (در $CdTe$) نسبت داد. لازم به ذکر است که در حالت حجمی که از ترکیب اتم‌های Cd (گروه IIB) با اتم‌های Te (گروه VIA) ساختار زینک‌بلند حاصل می‌گردد می‌توان تصور کرد که اتم‌های Cd ، با از دست دادن دو الکترون بصورت یون‌های مثبت ظاهر می‌شوند، اما به دلیل اختلاف کم الکترونگاتیویته دو عنصر می‌بایست پیوندشان را چیزی بیشتر از یک پیوندیونی در نظر گرفت. در حقیقت چنین بلورهایی مثال‌های خوبی از پیوندهای مرکب یونی-کوالانسی هستند. در اینجا نیز

همانطور که انتظار می‌رفت ساختارهای حالت پایه‌ی خوشهای CdTe مشابه حالت حجمی نیستند، زیرا دافعه‌ی کولنی بین جفت الکترون تنها در اتم‌های Te موجب حرکت اتم‌ها به سمت مکان‌های بیرونی خوش برای رسیدن به یک حالت پایدارتر می‌شوند.

پایدارترین ساختار پیش‌بینی شده برای Cd_2Te_2 ، یک ساختار لوزی شکل و متعلق به گروه نقطه‌ای D_{2h} است که متوسط طول پیوند $\text{Cd}-\text{Te}$ آن به اندازه‌ی 0.2\AA بیشتر از دوتایی CdTe است. در میان ساختارهای حالت پایه‌ی خوشهای کوچک کادمیم تلوراید، Cd_2Te_2 تنها خوش‌های است که در آن پیوند $\text{Cd}-\text{Cd}$ وجود دارد. وجود پیوندی به طول 0.88\AA یعنی نزدیک به طول پیوندی حالت حجمی (0.83\AA) بیانگر یک برهمکنش قوی بین اتم‌های $\text{Cd}-\text{Cd}$ است. ایزومرهای دوم و سوم این خوش به ترتیب با ساختار مربعی و باز دارای متوسط طول پیوند $\text{Cd}-\text{Te}$ 0.48\AA و 0.67\AA هستند که نسبت به ایزومر اول کاهش یافته‌اند. همچنین پیوند $\text{Cd}-\text{Cd}$ در ایزومر دوم برابر 0.83\AA و مساوی با حالت حجمی است. در این خوش، ایزومرهای دوم و سوم نسبت به ایزومر اول به ترتیب به اندازه‌ی 0.44eV و 0.15eV در سطح انرژی بالاتری قرار دارند. اختلاف انرژی-های کل ایزومرهای دوم و سوم نسبت به ایزومر اول برای خوشهای Cd_nTe_n در جدول ۱ ارائه شده است.

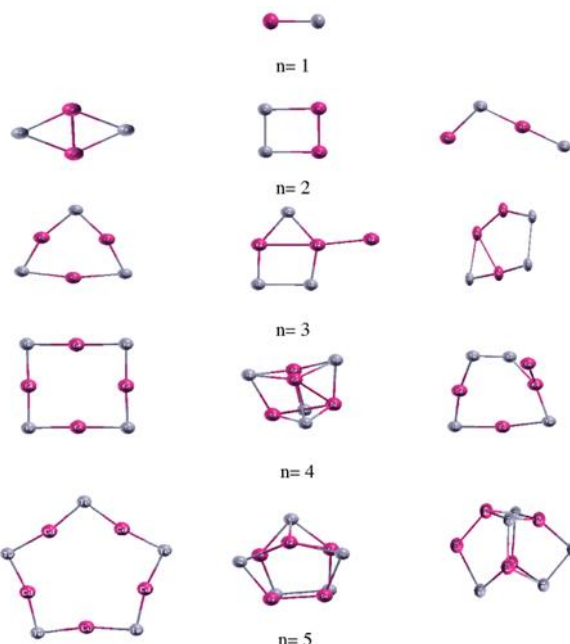
جدول ۱. اختلاف انرژی کل ایزومرهای دوم و سوم خوشهای Cd_nTe_n نسبت به ایزومر اول، ΔE_{21} و ΔE_{31}

نام خوش	$\Delta E_{21} = E_2 - E_1 (\text{eV})$	$\Delta E_{31} = E_3 - E_1 (\text{eV})$
CdTe	-	-
Cd_2Te_2	0.44	1.15
Cd_3Te_3	1.28	1.31
Cd_4Te_4	0.26	1.02
Cd_5Te_5	0.26	0.50
Cd_6Te_6	0.30	0.92
Cd_7Te_7	0.98	1.06
Cd_8Te_8	0.34	0.69
Cd_9Te_9	0.74	1.12
$\text{Cd}_{10}\text{Te}_{10}$	0.27	0.30

برطبق محاسبات LDA Cd_2Te_2 یک ساختار مثلثی دو بعدی و متعلق به گروه نقطه‌ای D_{2h} است. افروزن یک واحد $\text{Cd}-\text{Te}$ به 0.77\AA سبب همپوشی بیشتر اوربیتال‌های الکترون‌های ظرفیت اتم‌های Cd و Te با یکدیگر و در نتیجه کاهش پیوند $\text{Cd}-\text{Te}$ و افزایش زاویه $4/14^\circ$ در محل اتم $(\hat{T}e = 77/2^\circ)$ نسبت به Cd_2Te_2 شده است. این تغییرات به دلیل حذف پیوند $\text{Cd}-\text{Cd}$ نسبت به Cd_2Te_2 و افزایش برهمکنش الکترون‌های ظرفیت Cd و Te می‌باشد. برای Cd_4Te_4 ، یک ساختار مربعی دو بعدی (گروه نقطه‌ای D_{4h}) برای ایزومر اول و یک ساختار چهار وجهی برای ایزومر دوم پیش‌بینی شده است.

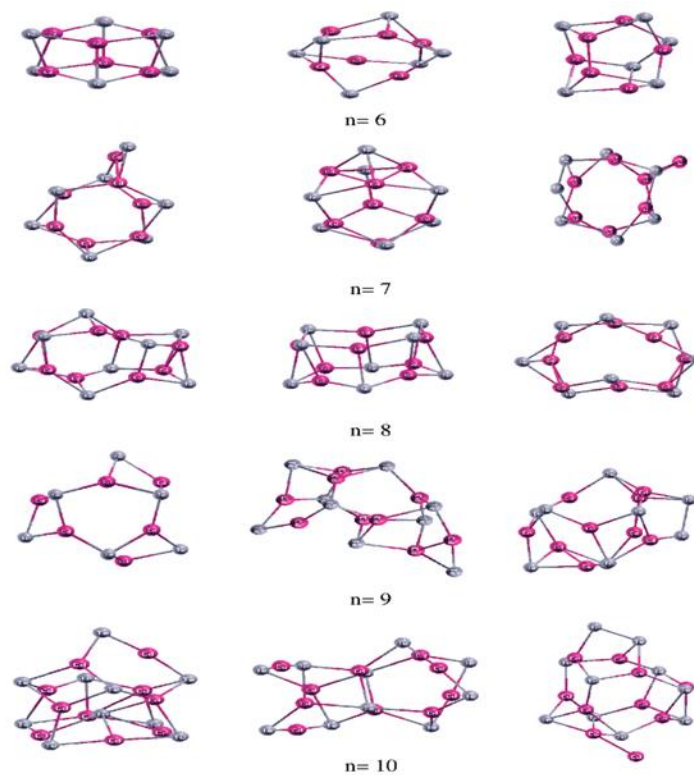
اگرچه تغییر محسوسی در طول پیوند $\text{Cd}-\text{Te}$ برای ایزومر اول Cd_3Te_2 نسبت به Cd_4Te_4 مشاهده نمی‌گردد با این وجود زاویه‌ی $\hat{T}e$ افزایش $10/7^\circ$ را نشان می‌دهد.

ساختار بدست آمده برای حالت پایه Cd_5Te_5 ، یک پنج ضلعی (گروه نقطه‌ای C_5) دو بعدی است که طول پیوند $\text{Cd}-\text{Te}$ آن در حدود $8/2^\circ$ افزایش می‌یابد. دو ایزومر دیگر این خوشه با ساختارهای سه بعدی ظاهر شده‌اند که پایداری آنها به ترتیب مقدار $0/26\text{eV}$ و $0/50\text{eV}$ نسبت به حالت پایه کاهش یافته است. برای خوشه‌های بزرگتر، $n > 5$ ، ساختارها شبیه قفس‌هایی هستند که تعدادی حلقه متصل بهم را در برگرفته‌اند و آرایش تناسب عنصری نیز در بعضی از آنها دیده می‌شود. همانطور که در شکل ۱ مشاهده می‌گردد آرایش تناسب عنصری با عدد هم‌آرایی ۲ برای کاتیون‌های (Cd) و آنیون‌ها (Te) در ایزومرهای اول خوشه‌های $n \leq 5$ به جز در $n=2$ وجود دارد، در حالی که در خوشه‌های $n > 5$ ، ظهور ساختارهای سه بعدی، عدد هم‌آرایی را به ۳ و ۴ افزایش می‌دهد (شکل ۲).



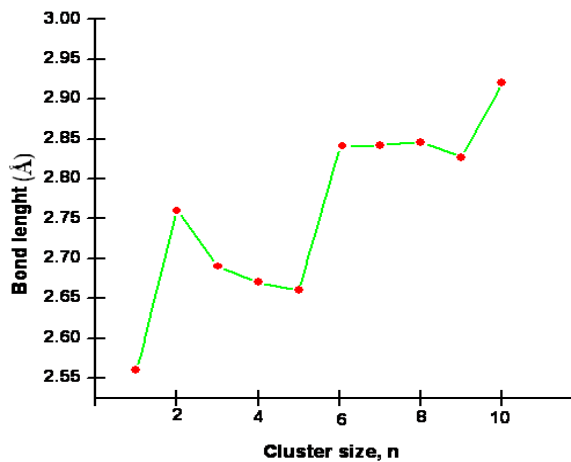
شکل ۱. ساختارهای اولین سه ایزومر خوشه‌های اول، Cd_nTe_n با $n=1-5$. در ستون سمت چپ، ایزومرهای دوم، در ستون میانی و ایزومرهای سوم، TI ، در ستون سمت راست قرار دارند. اتم‌های Cd و Te به ترتیب با رنگ‌های قرمز و طوسی مشخص شده‌اند.

کدار از حالت دو بعدی به سه بعدی برای ایزومرهای اول خوشه‌ها از $\text{Cd}_5\text{Te}_5 \rightarrow \text{Cd}_4\text{Te}_4$ و برای ایزومرهای دوم و سوم از $\text{Cd}_3\text{Te}_3 \rightarrow \text{Cd}_3\text{Te}_2$ رخ می‌دهد. طول پیوند اتم‌های تک‌پیوندی در ساختارهای باز نظیر ایزومر سوم Cd_3Te_2 و یا اتم‌های تک‌پیوندی متصل به یک ساختار بسته مثل ایزومر دوم Cd_3Te_3 ، در مقایسه با سایر پیوندهای خوشه کوچکتر است که این موضوع حاکی از وجود پیوندهایی بین یک و دو می‌باشد.



شکل ۲. ساختارهای اولین سه ایزومر خوشهای Cd_nTe_n با $n=5-10$

شکل ۳ منحنی تغییرات متوسط طول پیوند $Cd\text{-Te}$ را برای ساختارهای حالت پایه خوشهای کادمیم تلواید نشان می‌دهد. همانطور که مشاهده می‌گردد یک روند افزایشی همراه با نوسانات شدید برای طول پیوند $Cd\text{-Te}$ وجود دارد. کوتاهترین پیوند، 2.56\AA ، و مربوط به دوتایی $CdTe$ بوده که در مقایسه با حالت حجمی 0.25\AA کمتر است. با رفتن از $n=1$ به $n=2$ ، با یک افزایش شدید در طول پیوند مواجه هستیم که به دلیل افزایش عدد هم‌آرایی اتم‌های Cd از یک به سه، در جهت رسیدن به ساختار پایدارتر است. این تغییرات، یک روند کاهشی از $n=2$ تا $n=5$ دنبال می‌کند که به دلیل همپوشی بیشتر اوربیتال‌های اتم‌های Cd و Te مجاور و در نتیجه، ظهور ساختارهای حلقوی دو بعدی با عدد هم‌آرایی کمتر است. با افزایش تعداد واحدهای سازنده $CdTe$ برای خوشهای با $n \geq 6$ ، اشکال سه بعدی ظاهر می‌شوند که منجر به افزایش عدد هم‌آرایی برای اتم‌های Cd و Te و کاهش سهم همپوشی اوربیتال‌ها و نهایتاً "افزایش طول پیوند آنها می‌گردد. از بررسی خواص ساختاری خوشهای $CdTe$ چنین استنباط می‌گردد که اتم‌های Cd و Te تمایل به برقراری پیوندهایی مشابه حالت حجمی (تتراگonal) نداشته و این ویژگی منجر به بروز خواص الکترونی و اپتیکی کاملاً متفاوت با حالت حجمی می‌شود.



شکل ۳. منحنی تغییرات متوسط طول پیوند $\text{Cd}-\text{Te}$ در خوشه‌های Cd_nTe_n بر حسب اندازه خوشه n .

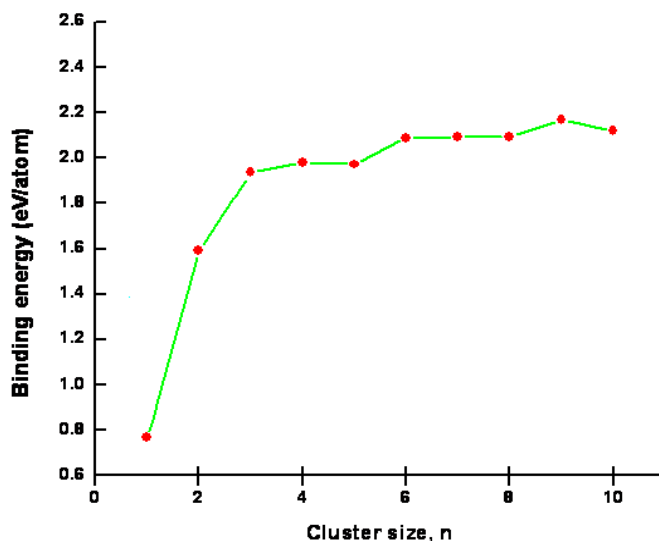
۲-۳- خواص الکترونی خوشه‌های Cd_nTe_n ($n=1-10$)

یکی از ویژگی‌های منحصر بفرد خوشه‌ها، سیر تدریجی حالت‌های مولکولی به حالت‌های حجمی است، وقتی اندازه خوشه افزایش می‌یابد. با افزایش اندازه خوشه‌ها می‌توان یک بازه‌ی وسیعی از خواص فیزیکی و شیمیایی را مشاهده کرد که برای ساخت قطعات جدید صنعتی و نانوتکنولوژی مفید است. بعضی از تغییرات در خواص فیزیکی و شیمیایی برای خوشه‌های کوچک، خیلی بزرگ است که می‌توان آنها را به خواص ساختاری اتمی نسبت داد. ساختارهای متمایز خوشه‌ها، این اثرات را در خواص الکترونی‌شان در مقایسه با حالت حجمی نشان می‌دهند. بطور مثال در یک بلور می‌توان نوارهای انرژی را مشاهده کرد که از ترازهای شبه پیوسته تشکیل شده‌اند در حالی که خوشه‌های کوچک، رفتاری مشابه مولکول‌ها را از خود نشان می‌دهند. با افزایش اندازه خوشه، ترازهای گستته به سمت حالت حدی‌شان یعنی شبه‌نوار نزدیک می‌شوند. در این سیر تدریجی، خواص فیزیکی نظیر انرژی بستگی، گاف انرژی، HOMO-LUMO، تغییر می‌کنند. انرژی بستگی بر واحد اتم، E_b برای پایدارترین ساختارهای خوشه‌های CdTe به صورت زیر تعریف می‌شود:

$$E_b = \frac{E_{Clusters} - n(E_{Cd} + E_{Te})}{n(Cd + Te)} \quad (1)$$

که به صورت تابعی از اندازه خوشه، n در شکل ۴ رسم شده است. در اینجا E_X ، انرژی کل سیستم x است. همان‌طور که در شکل نشان داده شده، انرژی بستگی بر واحد اتم با افزایش اندازه خوشه، افزایش می‌یابد. در بازه‌ی $n=1-5$ ، یک افزایش ناگهانی در انرژی برای خوشه‌ی $n=2$ در مقایسه با همسایگانش دیده می‌شود که به علت رسیدن به عدد هم‌آرایی بزرگتر (نماینده $\text{Cd}-\text{Cd}$ از جمله پیوند $\text{Cd}-\text{Cd}$) است. یک افزایش جزئی‌تر در انرژی بستگی از $n=5$ به $n=6$ دیده می‌شود که به علت گذار از

ساختر دو بعدی به سه بعدی است. برای خوشاهای بزرگتر $n \geq 6$ ، تغییرات انرژی آنها نسبت به یکدیگر کمتر از 0.3eV/atom است.



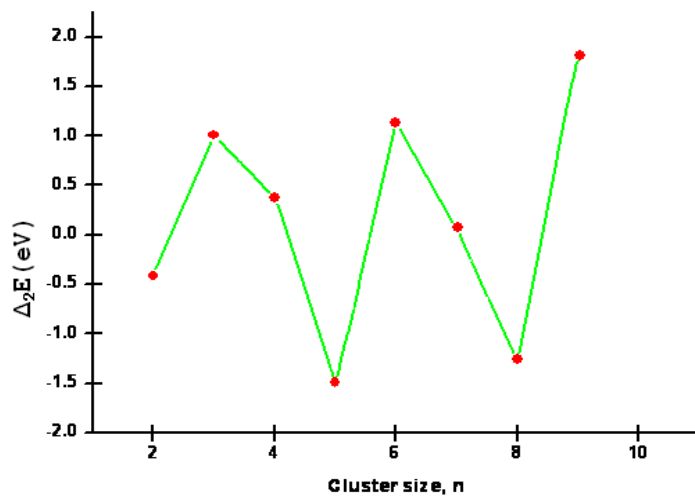
شکل ۴. انرژی بستگی خوشاهای Cd_nTe_n بر حسب اندازهٔ خوش، n.

نقاط ماکزیمم در میان خوشاهای کوچک مربوط به Cd_3Te_3 و در میان خوشاهای بزرگ به Cd_9Te_9 و $\text{Cd}_{10}\text{Te}_{10}$ اختصاص دارند که حاکی از پایداری بیشتر آنها نسبت به همسایگانشان است که می‌توان دلیل آن را به ظهور پیوند ضعیف بین اتمی اوربیتالهای $\text{Cd}-\text{Cd}$ در خوش، $n=3$ ، گذار از حالت ۲ بعدی به ۳ بعدی در $n=6$ و همچنین ظهور پیوندهای $\text{Cd}-\text{Cd}$ در خوش، $n=9$ با تقارن بیشتر آن نسبت به همسایگان نسبت داد.

دو کمیتی که به پایداری خوشها مربوط می‌شوند، اختلاف مرتبه دوم در انرژی کل، $\Delta_2 E(x)$ ، و گاف HOMO-LUMO است. در حالی که $\Delta_2 E(x)$ برای توصیف پایداری خوشها نسبت همسایگانشان بکار برده می‌شود، گاف HOMO-LUMO فعالیت شیمیایی خوشها را بازتاب می‌کند.

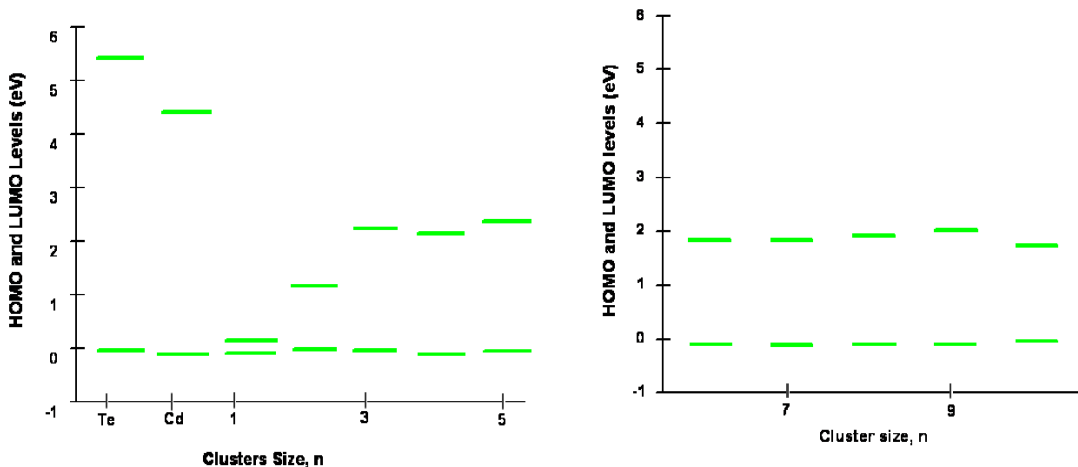
بر طبق رابطهٔ (۲)، یک مقدار مثبت برای $\Delta_2 E(x)$ نشان دهندهٔ پایداری بیشتر آن خوش نسبت به همسایگانش است.

شکل ۵. $\Delta_2 E(x)$ خوشاهای CdTe را نشان می‌دهد که منحنی آن با یک رفتار نوسانی از مقادیر مثبت و منفی همراه است. نقاط ماکزیمم آن در $n=3, 6, 9$ با مقادیر مثبت ظاهر شده‌اند که بیانگر پایداری بیشتر آن خوشها نسبت به همسایگانشان است و با نقاط ماکزیمم در منحنی انرژی بستگی مطابقت دارند.



شکل ۵. اختلاف مرتبه دوم در انرژی کل خوشه‌های Cd_nTe_n ($n=1-10$) بر حسب اندازه‌ی خوشه، n.

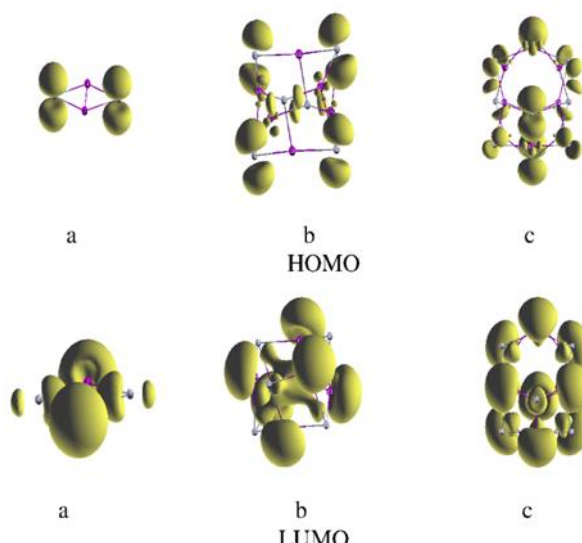
خواص الکترونی و اپتیکی CdTe در حالت حجمی به ساختار نواری الکترونی در نزدیک ماکریزم نوار ظرفیت (VBM) و مینمم نوار رسانش(CBM) بستگی دارد. در حالی‌که نوار رسانش ناشی از اولین تراز اشغال نشده‌ی کاتیون، یعنی s -Cd- d s مینمم نوار رسانش(CBM) بستگی دارد. در حالی‌که نوار رسانش ناشی از اولین تراز اشغال نشده‌ی آنیون، یعنی p -Te- d p جفت شدگی ترازهای d کاتیون و p آنیون سبب کاهش لبه‌ی نوار ظرفیت در CdTe می‌گردد [۲۸]. نتایج به دست آمده از حل معادلات کوهن-شم نشان می‌دهد که ترازهای انرژی اتمی یک اتم تنها به تعداد زیادی از ترازهای انرژی نزدیک به هم برای خوشه‌ها شکافته می‌شود. گاف انرژی بین بالاترین تراز اشغال شده (HOMO) و پایین‌ترین تراز اشغال نشده (LUMO)، HOMO-LUMO، معیاری برای فعالیت شیمیایی خوشه‌ها یا نانوذرات محسوب می‌گردد. ترازهای HOMO و LUMO به ترتیب نقش بالاترین و پایین‌ترین ترازهای نوار ظرفیت و رسانش یک ماده را در حالت حجمی ایفا می‌کنند. این ترازها برای خوشه‌های کادمیم تلوراید و تک اتم‌های کادمیم و تلوریم در شکل ۶ رسم شده است.



شکل ۶. ترازهای HOMO و LUMO برای اتم‌های Te، Cd و خوشه‌های Cd_nTe_n (n=۱-۱۰).

برای تجزیه و تحلیل داده‌های فوق، انرژی فرمی همه‌ی خوشه‌ها به نقطه صفر انرژی انتقال داده شده‌اند. بالاترین اوربیتال اشغال شده برای اتم‌های Te و Cd به ترتیب مربوط به اوربیتال‌های p و s است که اختلاف انرژی 0.8 eV آنها می‌تواند نقش مهمی در خواص اپتیکی خوشه‌های CdTe ایفا کند. همانطور که مشاهده می‌گردد که دوتایی CdTe کمترین گاف انرژی را در میان خوشه‌های ذکر شده دارد که تمایل به واکنش پذیری زیاد خوشه‌ی CdTe در مقایسه با سایر خوشه‌ها را نشان می‌دهد. با افزایش اندازه خوشه، ترازهای LUMO به سمت بالا و ترازهای HOMO به سمت پایین حرکت می‌کنند. این روند تغییرات برای ترازهای LUMO بیشتر و همراه با نوسانات شدیدتری نسبت به ترازهای HOMO می‌باشد. همچنین این تغییرات بیانگر آن است که با دور شدن ترازهای LUMO و HOMO از یکدیگر، تمایل به واکنش پذیری خوشه‌ها نیز کاهش می‌یابد. شکل ۶ نشان می‌دهد که گاف انرژی خوشه‌های $n=3, 5, 9$ در مقایسه با همسایگانشان بزرگتر، و در نتیجه فعالیت شیمیابی شان نسبت به خوشه‌های مجاور کمتر است.

طبیعت پیوندها در یک خوشه را می‌توان با آنالیز توزیع چگالی بار بر روی اتم‌های خوشه مورد بحث و بررسی قرار داد. در شکل ۷، بارهای جزئی توزیع شده بر روی اتم‌های Cd و Te در ترازهای LUMO و HOMO برای خوشه‌های $n=2, 6, 9$ نشان داده شده است. همانطور که مشاهده می‌گردد، اتم‌های Cd سهمی از توزیع بار در حالت‌های HOMO نداشته و چگالی بارها فقط به اتم‌های Te اختصاص دارند که دارای خصلت p اتمی بوده و با خصلت بالاترین تراز نوار ظرفیت در حالت حجمی تطابق دارد، در صورتی که برای حالت‌های LUMO، مشارکت اتم‌های Cd نیز مشاهده می‌گردد و توزیع بار به حالت‌های هیبریدی از اوربیتال‌های Cd-s و Cd-p اختصاص پیدا می‌کند. این روند توزیع بار برای اوربیتال‌های HOMO و LUMO در خوشه‌های Cd_2Te_2 مشابه Cd_9Te_9 و Cd_6Te_6 است.



شکل ۷. چگالی بارهای جزئی برای ترازهای HOMO و LUMO در خوشه‌های Cd_2Te_2 (ستون چپ)، Cd_6Te_5 (ستون وسط) و Cd_9Te_9 (ستون راست).

۴- نتیجه گیری:

خواص ساختاری و الکترونی خوشه‌های Cd_nTe_n ($n=1-10$) در چارچوب تابعی چگالی و با استفاده از تقریب چگالی موضعی در بسته نرم افزاری VASP مطالعه شده است. محاسبات DFT، برای ساختارهای حالت پایه خوشه‌های $n \leq 5$ ، ساختار دو بعدی و برای $n > 5$ ساختارهای سه بعدی را پیش بینی می‌کند که در میان خوشه‌های کوچک، خوشه‌ی $n=3$ و در خوشه‌های بزرگتر، خوشه‌های $n=6$ و $n=9$ از پایداری بیشتری نسبت به همسایگانشان برخوردارند. منحنی های انرژی بستگی بر اتم، اختلاف مرتبه دوم در انرژی کل، پایداری بیشتر خوشه‌های ذکر شده را تایید می‌کنند. از لحاظ ساختاری، طول پیوند Cd-Te فقط در خوشه Cd_2Te_2 ($2/88\text{\AA}$) نزدیک به حالت حجمی ($2/83\text{\AA}$) بوده و ساختار تتراغونال شبیه آنچه در حالت حجمی برای بلور CdTe وجود دارد مشاهده نمی‌شود. نتایج استخراج شده از محاسبات نشان می‌دهد که ترازهای HOMO مشابه حالت های حجمی دارای خصلت p/tm بوده در حالی که LUMO یک حالت هیبریدی از $\text{Cd}-s$ و $\text{Te}-p$ است.

۵- مراجع:

- [1] P. Jene, B. K. Rao, S. N. Khanna, *NATO ASI Series B*, **158**, (1987) 145.
- [2] M. F. Jarrold, *Science*, **252** (1991) 1085.
- [3] C.N.R. Rao, G. U. Kulkarni, P. J. Thomas, and P. P. Edwards, *Chem. Eur. J.*, **8** (2002) 28.
- [4] J. R. Heath and J. J. Shiang, *Chem. Soc. Rev.*, **27** (1998) 65.
- [5] A. P. Alivisatos, *J. Phys. Chem.*, **100**, **13** (1996) 226.
- [6] S. H. Tolbert and A. P. Alivisatos, *Annu. Rev. Phys. Chem.*, **46** (1995) 595.
- [7] M. R. Hoffmann, S. T. Martin, W. Choi, and D. W. Bahnemann, *Chem. Rev.*, **95** (1995) 69.

-
- [8] D. Lorimier, J. J. Smith, M. A. Dwyer, L. L. Looger, K. M. Sali, et al., *Protein Sci*, **11** (2002) 2655.
 - [9] H. V. Hsieh, Z. Pfeiffer, T. Amiss, D. Sherman and B. Piter, *Biosens Bioelectron*, **19** (2004) 653.
 - [10] N.D Evans, et al., *Diabetes Technol Ther*, **5** (2003) 807.
 - [11] N.D Evans, et al., *J Photochem Photobiol B*, **80** (2005) 122.
 - [12] L. Tolosa, et al., *Anal Biochem.*, **267** (1999) 114.
 - [13] Y.L Yang, et al, *Conf Proc IEEE Eng Med Biol Soc*, (2008) 3162.
 - [14] J. M. Pearce, N. Prodraza, R. W. Collins, M. M. Al-Jassim, K. M. Jones, J. Deng and C. R. Wronkski, *Journal of Applied Physics*, **101** (2007) 114301.
 - [15] A. Sahay, V.K. Sethi, and A.C. Tiwari, *VSRD International journal of Mechanical, Civil, Automobile and Production Engineering*, **3** (2013) 267.
 - [16] E. H. Sargent, *Advanced Materials*, **17** (2005) 515.
 - [17] C. H. M. Chuang, P. R. Brown, V. Bulovic and M. G. Bawendi, *Nature Materials*, **13** (2014) 796.
 - [18] S. Kr. Bhattacharya and A. Kshirsagar, *Phys. Rev B.*, **75** (2007) 035402.
 - [19] S. Kr. Bhattacharya and A. Kshirsagar, *Eur. Phys. J. D*, **61** (2011) 609.
 - [20] P. Hohenberg and W. Kohn, *Phys. Rev B*, **136** (1964) 864.
 - [21] P. E. Blöchl. *Phys. Rev. B*, **50** (1994) 17953.
 - [22] W. Kohn and L. J. Sham, *phys. Rev*, **136** (1964) B864.
 - [23] P. Perdew and Y. Wang, *Phys. Rev. B*, **45** (1992) 13244.
 - [24] G. Kresse and J. Furthmüller, *Comput. Mat. Sci.* **6** (1996) 15.
 - [25] G. Kresse and J. Furthmüller, *Phys. Rev. B* **54** (1996) 11169.
 - [26] M. P. Teter, M.C. Payne and D. C. Allan, *Phys. Rev. B*, **40** (1989) 12255.
 - [27] J. C. Philips, Bonds and Bands in Semiconductors, *Academic Press, New York* (1973) 42.
 - [28] B. E. McCandless and J. R. Sites, Cadmium Telluride Solar Cells, *University of Delaware, Newarke, Delaware, USA, Colorado State University*, (2003) 617.